

Autour des schémas asymptotiquement préservant

Marie Hélène Vignal

IMT: Institut de Mathématiques de Toulouse.

Université Toulouse 3

Marseille le 8 février 2011

Collaboration avec

Claire Chainais-Hillairet (Université Lille 1)

1^{ère} solution : utiliser le modèle asymptotique

$$M_0 = \lim_{\lambda \rightarrow 0} M_\lambda \quad \Rightarrow \quad \text{Maillage indépendant de } \lambda$$

► Problèmes

► Nécessité de **conditions aux limites préparées** au régime asymptotique

► On doit utiliser M_λ là où $\lambda = O(1)$ \Rightarrow **deux modèles**

→ Reconnection de M_λ et M_0 .

→ Localisation de l'interface.

→ Interface mobile : problème numérique difficile en 2D ou 3D.

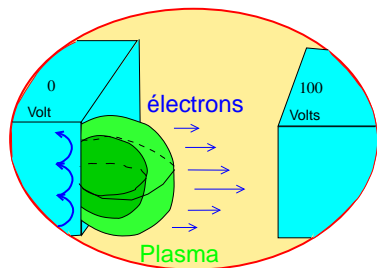
Une autre solution : utiliser un schéma asymptotiquement préservant

- ⇒ Utiliser le modèle microscopique M_λ partout.
- ⇒ Le discrétiser avec un schéma préservant l'asymptotique $\lambda \rightarrow 0$
 - ⇒ Maillage indépendant de λ : **Stabilité asymptotique.**
 - ⇒ On obtient une approximation de la solution de M_0 quand $\lambda \rightarrow 0$:
Consistance asymptotique.

Schéma asymptotiquement stable et consistant

⇒ **Schéma asymptotiquement préservant (AP)**
([S.Jin] cinétique \rightarrow fluide)

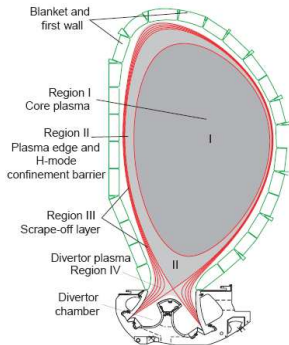
- Exemple 1 : expansion de plasma entre deux electrodes



- Diodes à forts courants,
Financé par le CEA/DAM.
- Arcs sur les panneaux solaires des satellites,
Financé par le CNES.
- Schéma AP pour Euler-Poisson dans la limite quasineutre
Crispel, Degond, MHV, JCP 2007.
- Stabilité asymptotique : P. Degond, JG. Liu, MHV, SIAM 2008.
- Couche limite : MHV, SIAM 2010.

Exemple 2 : ITER

Fusion du Deutérium-Tritium par confinement inertiel



→ **Financé par le CEA**

→ Schémas AP dans la **limite quasineutre**,

→ Euler-Maxwell, → Vlasov-Poisson

→ **Limite de dérive et Bas Mach**

→ Euler-Lorentz, → Vlasov-Lorentz,

→ **Collaborations** avec : A.B. Sun, P. Degond, F. Deluzet,
S.Hirstoaga, L. Navoret, A. Sangam, D. Savelief

▣ Limites quasineutres

▣ Euler-Poisson :

▣ Vlasov-Poisson :

▣ Dérive-diffusion Poisson :

▣ Limites Bas Mach

▀▀ **Limites quasineutres**

▀ **Euler-Poisson :**

- S. Fabre (1992),
- Ph. Colella, M.R. Dorr, D.D. Wake (1999),
- H.H. Choe, N.S. Yoon, S.S. Kim and D.I. Choi (2001),
- P. Crispel, P. Degond, M.H. Vignal (2007),
- P. Degond, J.G. Liu, M.H. Vignal (2008),
- M.H. Vignal (2010).

▀ **Vlasov-Poisson :**

▀ **Dérive-diffusion Poisson :**

▀▀ **Limites Bas Mach**

▶ Limites quasineutres

▶ Euler-Poisson :

▶ Vlasov-Poisson :

- R.J. Mason (1981,1983),
- B.I. Cohen, A.B. Langdon, A. Friedman (1982,1983),
- P. Degond, F. Deluzet, L. Navoret (2006),
- R. Belaouar, N. Crouseilles, P. Degond, E. Sonnendrücker (2009),
- P. Degond, F. Deluzet, L. Navoret, A.B. Sun, M.H. Vignal (2010).

▶ Dérive-diffusion Poisson :

▶ Limites Bas Mach

▣ Limites quasineutres

→ Euler-Poisson :

→ Vlasov-Poisson :

→ Dérive-diffusion Poisson :

- G. Lapenta, F. Linoy, J.U. Brackbill (1995),
- P.L.G. Ventzek, T.J. Sommerer, R.J. Hoekstra, M.J. Kushner, (1993),
- P.L.G. Ventzek, R.J. Hoekstra, M.J. Kushner, (1994),
- C. Chainais-Hillairet, M.H. Vignal.

▣ Limites Bas Mach

▣ Limites quasineutres

▣ Euler-Poisson :

▣ Vlasov-Poisson :

▣ Dérive-diffusion Poisson :

- ▣ **Limites Bas Mach** - R. Klein (1995),
 - C.D. Munz, S. Roller, R. Klein, K.J. Geratz (2002),
 - J.H. Park, C.D. Munz (2005),
 - P. Degond, S. Jin and J.-G. Liu (2007),
 - P. Degond, F. Deluzet et A. Sangam, M.H. Vignal (2009),
 - S. Dellacherie (2010).

- 1 Contexte général : problèmes multi-échelles
- 2 Le modèle de dérive-diffusion et sa limite quasineutre
 - Le modèle de dérive diffusion adimensionné
 - La limite quasineutre formelle
 - Equilibre thermique et dissipation d'entropie
 - La limite quasineutre rigoureuse
- 3 Les discrétisations asymptotiquement préservant
 - Le schéma implicite
 - Le schéma asymptotiquement préservant découplé
- 4 Résultats numériques
 - Données bien préparées
 - Couche limite en espace
 - Couche limite initiale
 - Résultats bidimensionnels
- 5 Travaux en cours et perspectives

Le modèle de dérive diffusion adimensionné

➡ Pour $x \in \Omega \subset \mathbb{R}^d$ ($d = 1, 2$ ou 3) borné, et $t > 0$

$$(DD)_\lambda \begin{cases} \partial_t N - \nabla \cdot (\nabla r(N) - N \nabla \psi) = 0, \\ \partial_t P - \nabla \cdot (\nabla r(P) + P \nabla \psi) = 0, \\ -\lambda^2 \Delta \psi = P - N + C, \end{cases} \quad r(s) = s^\gamma, \quad \gamma \geq 1.$$

➡ $N(x, t)$ = densité des électrons, $P(x, t)$ = densité des trous,
 $\psi(x, t)$ = potentiel électrique, $C(x)$ = dopage (préconcentration),

$\lambda = \frac{\text{Longueur de Debye}}{\text{taille du domaine}} = \text{longueur de Debye adimensionnée} \ll 1$

➡ Existence, parfois unicité : -T. Seidman, G. Troianello (1985), -H. Gajewski (1985),
-P.A. Markowitch, C.A. Ringhofer, C. Schmeiser (1990).

➡ Preuve basée sur estimations L^∞ , $L^2(0, T; H^1(\Omega))$ et pt fixe de Schauder

➡ Formellement $\lambda \rightarrow 0$:

$$(DD)_0 \begin{cases} \partial_t N - \nabla \cdot (\nabla r(N) - N \nabla \psi) = 0, \\ \partial_t P - \nabla \cdot (\nabla r(P) + P \nabla \psi) = 0, \\ 0 = P - N + C. \end{cases}$$

➡ On soustrait les éqs. de masse

$$\partial_t (P - N) - \Delta (r(P) - r(N)) - \nabla \cdot ((P + N) \nabla \psi) = 0.$$

➡ Contrainte de quasineutralité \Rightarrow équation explicite pour ψ

$$-\nabla \cdot ((P + N) \nabla \psi) = \Delta (r(P) - r(N)).$$

➡ A partir du modèle microscopique

$$(DD)_\lambda \begin{cases} \partial_t N - \nabla \cdot (\nabla r(N) - N \nabla \psi) = 0, \\ \partial_t P - \nabla \cdot (\nabla r(P) + P \nabla \psi) = 0, \\ -\lambda^2 \Delta \psi = P - N + C. \end{cases}$$

➡ On soustrait les éqs. de masse

$$\partial_t (P - N) - \Delta (r(P) - r(N)) - \nabla \cdot ((P + N) \nabla \psi) = 0.$$

➡ On utilise l'éq. de Poisson

$$-\lambda^2 \partial_t \Delta \psi - \nabla \cdot ((P + N) \nabla \psi) = \Delta (r(P) - r(N)).$$

➡ Présence d'oscillations en temps à la période λ^2 .

➡ Les schémas explicites doivent résoudre cette échelle $\Rightarrow \Delta t \leq \lambda^2$.

► Références :

- I. Gasser (2001),
- I. Gasser, C.D. Levermore, P.A. Markovich, C. Schmeiser (2001),
- A. Jüngel, Y.J. Peng (2001),
- L. Xiao, P.A. Markowich, S. Wang (2002),
- C. Schmeiser, S. Wang (2003),
- L. Xiao, S. Wang (2003),
- S. Wang, X. Cai (2005),
- J. Ri, F. Huang (2009),

► Références :

- I. Gasser (2001),
- I. Gasser, C.D. Levermore, P.A. Markovich, C. Schmeiser (2001),
- A. Jüngel, Y.J. Peng (2001),
- L. Xiao, P.A. Markowich, S. Wang (2002),
- C. Schmeiser, S. Wang (2003),
- L. Xiao, S. Wang (2003),
- S. Wang, X. Cai (2005),
- J. Ri, F. Huang (2009),

⇒ Système stationnaire ($\gamma = 1$)

$$\begin{cases} -\nabla \cdot (\nabla N - N \nabla \psi) = 0, \\ -\nabla \cdot (\nabla P + P \nabla \psi) = 0, \\ -\lambda^2 \Delta \psi = P - N + C. \end{cases} \Leftrightarrow \begin{cases} -\nabla \cdot (N \nabla (\ln(N) - \psi)) = 0, \\ -\nabla \cdot (P \nabla (\ln(P) + \psi)) = 0, \\ -\lambda^2 \Delta \psi = P - N + C. \end{cases}$$

⇒ Existence de l'éq. thermique (N_e, P_e, ψ_e) : P.A. Markowitch, A. Unterreiter (1993)

$$\begin{cases} \ln(N_e) - \psi_e = \alpha_N = cste, \\ \ln(P_e) + \psi_e = \alpha_P = cste, \\ -\lambda^2 \Delta \psi_e = \exp(\alpha_P - \psi_e) - \exp(\alpha_N + \psi_e) + C. \end{cases}$$

⇒ Quand $t \rightarrow +\infty$, convergence vers l'éq. thermique : A. Jüngel (1995) ($C = 0$)

⇒ Entropie (ou énergie) du système instationnaire

$$e(t) = \int_{\Omega} \left(H(N) - H(N_e) - \ln(N_e) (N - N_e) \right. \\ \left. + H(P) - H(P_e) - \ln(P_e) (P - P_e) + \frac{\lambda^2}{2} |\nabla\psi - \nabla\psi_e|^2 \right) dx \geq 0,$$

où $H(s) = \int_1^s \ln(u) du = s \ln s - s + 1$ est convexe.

⇒ Dissipation d'entropie

$$\frac{de(t)}{dt} = - \int_{\Omega} \left(\frac{|\nabla N - N \nabla\psi|^2}{N} + \frac{|\nabla P + P \nabla\psi|^2}{P} \right) dx \leq 0.$$

⇒ Estimation uniforme en λ

$$e(T) + \int_0^T \int_{\Omega} \left(\left| \frac{\nabla N - N \nabla\psi}{\sqrt{N}} \right|^2 + \left| \frac{\nabla P + P \nabla\psi}{\sqrt{P}} \right|^2 \right) dx dt \leq e(0).$$

⇒ I. Gasser, C.D. Levermore, P.A. Markowich, C. Schmeiser (2001)

$$(DD)_\lambda \begin{cases} \partial_t N - \nabla \cdot (\nabla N - N \nabla \psi) = 0, \\ \partial_t P - \nabla \cdot (\nabla P + P \nabla \psi) = 0, \\ -\lambda^2 \Delta \psi = P - N + C, \end{cases} \quad x \in \Omega \subset \mathbb{R}^d, t > 0.$$

⇒ Cond. aux limites quasineutres et compatibles avec l'équilibre thermique

$$\text{- Sur } \partial\Omega_D : N = N_b = n_b \exp(\psi_b), \quad P = P_b = n_b \exp(-\psi_b), \quad \psi = \psi_b,$$

$$\text{avec } P_b - N_b + C = 0.$$

$$\text{- Sur } \partial\Omega_N : (\nabla N - N \nabla \psi) \cdot \mathbf{v} = 0, \quad (\nabla P + P \nabla \psi) \cdot \mathbf{v} = 0, \quad \nabla \psi \cdot \mathbf{v} = 0.$$

⇒ Conditions initiales quasineutres

$$P_0 - N_0 + C = 0.$$

Théorème : (Gasser-Levermore-Markowich-Schmeiser)

Si

- $C \in H^1(\Omega)$,
- $P_0, N_0 \in L^1(\Omega)$ uniformément en λ ,
- $N + P \geq \underline{C}$,
- Entropie $e(t = 0)$ est indépendante de λ .

Alors $N^\lambda, P^\lambda \rightarrow N, P$ dans $L^1([0, T] \times \Omega)$ et $\nabla \psi^\lambda \rightharpoonup \nabla \psi$ dans $L^2(\Omega \times [0, T])$,

$$(DD)_0 \begin{cases} \partial_t N - \nabla \cdot (\nabla N - N \nabla \psi) = 0, \\ \partial_t P - \nabla \cdot (\nabla P + P \nabla \psi) = 0, \\ 0 = P - N + C. \end{cases}$$

- Sur $\partial\Omega_D$: $N = N_b, \quad P = P_b, \quad \psi = \psi_b.$
- Sur $\partial\Omega_N$: $(\nabla N - N \nabla \psi) \cdot \mathbf{v} = 0, \quad (\nabla P + P \nabla \psi) \cdot \mathbf{v} = 0.$

$$P_0 - N_0 + C = 0.$$

➡ En choisissant $P + N$, $P - N$ et ψ comme inconnues

$$(DD)_0 \Leftrightarrow \begin{cases} \partial_t(P + N) - \nabla \cdot (\nabla(P + N) - C \nabla \psi) = 0, \\ -\nabla \cdot (-\nabla C + (P + N) \nabla \psi) = 0, \\ P - N = -C. \end{cases}$$

- Sur $\partial\Omega_D$: $P + N = P_b + N_b$, $P - N = P_b - N_b = -C$, $\psi = \psi_b$.

- Sur $\partial\Omega_N$: $(\nabla(P + N) - C \nabla \psi) \cdot \mathbf{v} = 0$, $(-\nabla C + (P + N) \nabla \psi) \cdot \mathbf{v} = 0$.

➡ Preuve basée sur : ➡ la dissipation d'entropie,

➡ des injections de Sobolev.

➡ Si $C = 0$, plus simple car estimations L^∞ et $L^2(0, T; H^1(\Omega))$ uniformes en λ ,
I. Gasser (2001).

- 1 Contexte général : problèmes multi-échelles
- 2 Le modèle de dérive-diffusion et sa limite quasineutre
 - Le modèle de dérive diffusion adimensionné
 - La limite quasineutre formelle
 - Equilibre thermique et dissipation d'entropie
 - La limite quasineutre rigoureuse
- 3 **Les discrétisations asymptotiquement préservant**
 - **Le schéma implicite**
 - **Le schéma asymptotiquement préservant découplé**
- 4 Résultats numériques
 - Données bien préparées
 - Couche limite en espace
 - Couche limite initiale
 - Résultats bidimensionnels
- 5 Travaux en cours et perspectives

➡ Si N^n, P^n, ψ^n sont des approximations connues au temps t^n

$$\begin{cases} N^{n+1} - N^n - \Delta t \nabla \cdot (\nabla N^{n+1} - N^{n+1} \nabla \psi^{n+1}) = 0, \\ P^{n+1} - P^n - \Delta t \nabla \cdot (\nabla P^{n+1} + P^{n+1} \nabla \psi^{n+1}) = 0, \\ -\lambda^2 \Delta \psi^{n+1} = P^{n+1} - N^{n+1} + C. \end{cases}$$

➡ Schéma couplé \Rightarrow non linéaire \Rightarrow algorithme de Newton.

➡ Schéma asymptotiquement stable et consistant.

➡ Discrétisation en espace : Scharfetter-Gummel, décentré amont...

Existence unicité de la solution

→ Semi-discrétisé en temps : - estimations $L^\infty, L^2(0, T; H^1(\Omega))$,
- point fixe de Schauder.

→ Schéma espace-temps : - estimations L^∞ , degré topologique,
(C. Chainais-Hillairet, J.G. Liu, Y.J. Peng, 2003,2004).

→ Pour $C = 0$, stabilité L^∞ et $L^2(]0, T[; H^1(\Omega))$ uniformes en λ .

→ Dissipation discrète d'entropie (Marianne Chatard, à paraître).

→ Preuve de Gasser-Levermore-Markowich-Schmeiser passe pour le schéma semi-discrétisé en temps.

Construction du schéma AP découplé

Termes de couplage implicites \Rightarrow stabilité uniforme en λ

$$\left\{ \begin{array}{l} N^{n+1} - N^n - \Delta t \nabla \cdot (\nabla N^n - N^n \nabla \psi^{n+1}) = 0, \quad (1) \\ P^{n+1} - P^n - \Delta t \nabla \cdot (\nabla P^n + P^n \nabla \psi^{n+1}) = 0, \quad (2) \\ -\lambda^2 \Delta \psi^{n+1} = P^{n+1} - N^{n+1} + C, \quad (3) \end{array} \right.$$

En éliminant P^{n+1} et N^{n+1} , l'eq. (3) devient

$$-\lambda^2 \Delta \psi^{n+1} - \Delta t \nabla \cdot ((N^n + P^n) \nabla \psi^{n+1}) = P^n - N^n + C + \Delta t \Delta (P^n - N^n).$$

Equation de Poisson reformulée

$$-\nabla \cdot \left(\left(\lambda^2 + \Delta t (N^n + P^n) \right) \nabla \psi^{n+1} \right) = P^n - N^n + C + \Delta t \Delta (P^n - N^n).$$

➡ On remplace l'éq. de Poisson par l'éq. de Poisson reformulée dans le schéma implicite

$$\begin{cases} N^{n+1} - N^n - \Delta t \nabla \cdot (\nabla N^{n+1} - N^{n+1} \nabla \psi^{n+1}) = 0, \\ P^{n+1} - P^n - \Delta t \nabla \cdot (\nabla P^{n+1} + P^{n+1} \nabla \psi^{n+1}) = 0, \\ -\nabla \cdot \left((\lambda^2 + \Delta t (N^n + P^n)) \nabla \psi^{n+1} \right) = P^n - N^n + C + \Delta t \Delta (P^n - N^n). \end{cases}$$

- ➡ Schéma découplé \Rightarrow linéaire.
- ➡ Schéma asymptotiquement stable et consistant (numériquement).
- ➡ Discrétisation en espace : Scharfetter-Gummel, décentré amont...

⇒ Existence unicité de la solution : idem schéma implicite

⇒ Formellement

⇒ $\lambda = 0$ dans le schéma

$$\begin{cases} N^{n+1} - N^n - \Delta t \nabla \cdot (\nabla N^{n+1} - N^{n+1} \nabla \psi^{n+1}) = 0, \\ P^{n+1} - P^n - \Delta t \nabla \cdot (\nabla P^{n+1} + P^{n+1} \nabla \psi^{n+1}) = 0, \\ -\nabla \cdot \left((\Delta t (N^n + P^n)) \nabla \psi^{n+1} \right) = P^n - N^n + C + \Delta t \Delta (P^n - N^n). \end{cases}$$

⇒ Développement asymptotique en Δt

$\Delta t^0 \rightarrow$ la quasineutralité : $P^n - N^n + C = 0$,

$\Delta t^1 \rightarrow$ discrétisation de l'eq. quasineutre du potentiel ψ :

$$-\nabla \cdot \left(\left((N^n + P^n) \right) \nabla \psi^{n+1} \right) = \Delta (P^n - N^n) = -\Delta C.$$

- 1 Contexte général : problèmes multi-échelles
- 2 Le modèle de dérive-diffusion et sa limite quasineutre
 - Le modèle de dérive diffusion adimensionné
 - La limite quasineutre formelle
 - Equilibre thermique et dissipation d'entropie
 - La limite quasineutre rigoureuse
- 3 Les discrétisations asymptotiquement préservant
 - Le schéma implicite
 - Le schéma asymptotiquement préservant découplé
- 4 Résultats numériques
 - Données bien préparées
 - Couche limite en espace
 - Couche limite initiale
 - Résultats bidimensionnels
- 5 Travaux en cours et perspectives

Cas test en dimension une

→ Domaine $x \in]0, 1[$, 100 mailles uniformes.

→ $\lambda^2 = 10^{-10}$, $\Delta t = 10^{-3}$

→ Profile de dopage non constant : $C(x) = \begin{cases} -1, & \text{for } x < 1/2, \\ +1, & \text{for } x > 1/2. \end{cases}$

→ Conditions aux limites de Dirichlet

$$\begin{aligned} P(x=0, t) &= \bar{P}_0, & N(x=0, t) &= \bar{N}_0, & \psi(x=0, t) &= \bar{\psi}_0, \\ P(x=1, t) &= \bar{P}_1, & N(x=1, t) &= \bar{N}_1, & \psi(x=1, t) &= \bar{\psi}_1. \end{aligned}$$

→ Conditions quasineutres : $\bar{P}_{0,1} - \bar{N}_{0,1} + C = 0.$

→ Conditions non quasineutres : $\bar{P}_{0,1} - \bar{N}_{0,1} + C \neq 0.$

→ Conditions initiales : $P(x, t=0) = P_0$, $N(x, t=0) = N_0.$

→ Conditions quasineutres : $P_0 - N_0 + C = 0.$

→ Conditions non quasineutres : $P_0 - N_0 + C \neq 0.$

Conditions aux limites et initiales quasineutres

Temps CPU implicite : 1.5938 s.

Temps CPU AP : 0.5938 s.

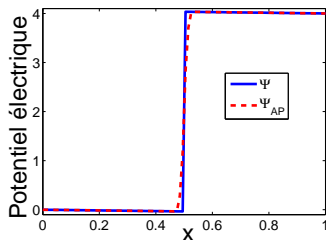
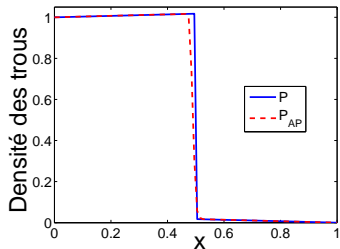
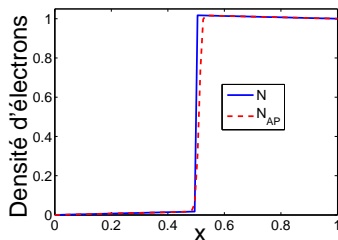
Gain ≈ 2.7 .

Erreurs rel. en norme L^2 :

sur N : 0.1077,

sur P : 0.1077,

sur ψ : 0.0623.



Cond. init. quasineutres (QN) et cond. aux limites non QN

Temps CPU implicite : 1.6250s.

Temps CPU AP : 0.5938s.

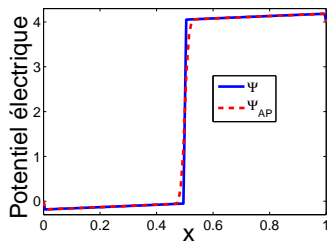
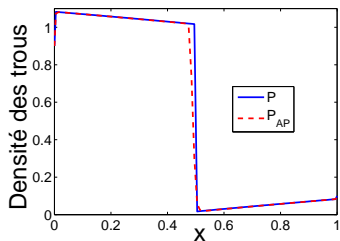
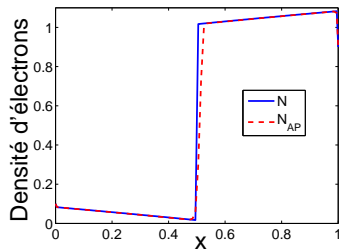
Gain ≈ 2.7 .

Erreurs rel. en norme L^2 :

sur N : 0.1038,

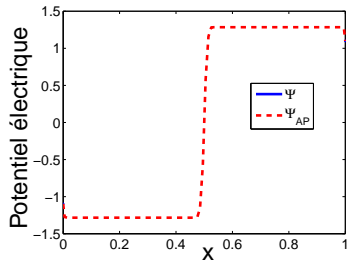
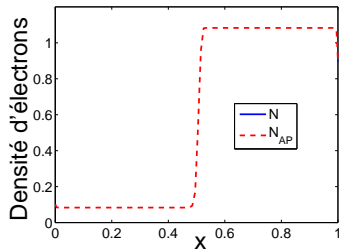
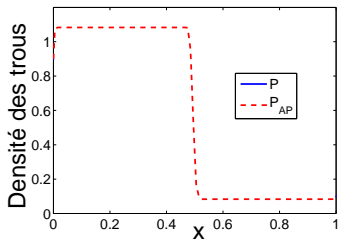
sur P : 0.1038,

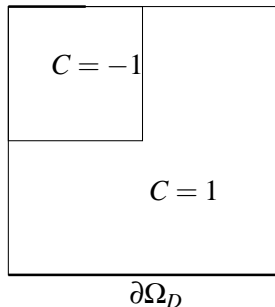
sur ψ : 0.0614.



Conditions aux limites et initiales non quasineutres

Schéma implicite instable.
Temps CPU AP : 0.6094 s.



$\partial\Omega_D$ 

⇒ $\lambda^2 = 10^{-3}$ ou 10^{-10} , $\Delta t = 5 \cdot 10^{-4}$.

⇒ Temps final $T=0.5$

⇒ Maillage en espace : 896 triangles.

⇒ Conditions aux limites :

→ Sur $\partial\Omega_D$: conditions de Dirichlet quasineutres.

→ Ailleurs : conditions de Neumann homogènes.

⇒ Conditions initiales quasineutres.

Schéma implicite

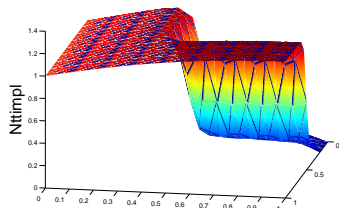


Schéma AP

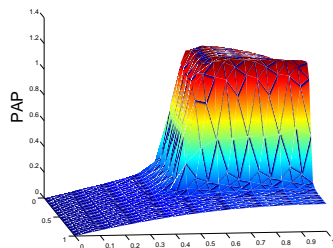
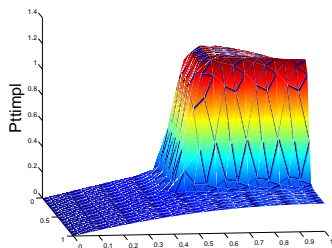
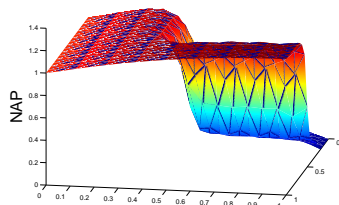


Schéma implicite

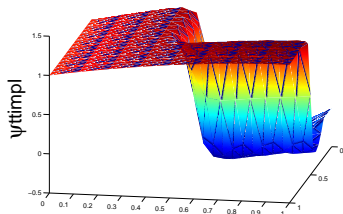
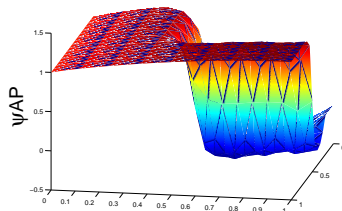


Schéma AP



-Temps CPU schéma implicite : 86.7656s.

-Temps CPU schéma AP découplé : 16.5000s.

⇒ gain ≈ 5.3 .

-Erreurs relatives en norme L^2 : Sur N : 0.0532,

Sur P : 0.0482,

Sur ψ : 0.0667.

Schéma implicite instable

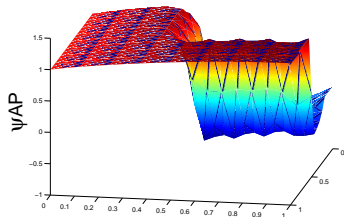
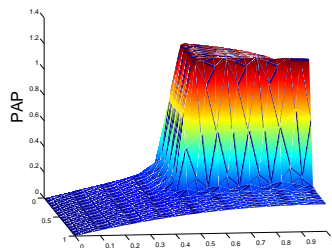
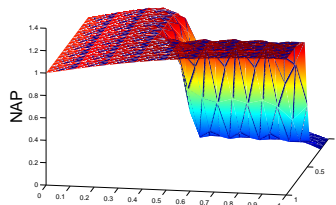


Schéma AP découplé



- 1 Contexte général : problèmes multi-échelles
- 2 Le modèle de dérive-diffusion et sa limite quasineutre
 - Le modèle de dérive diffusion adimensionné
 - La limite quasineutre formelle
 - Equilibre thermique et dissipation d'entropie
 - La limite quasineutre rigoureuse
- 3 Les discrétisations asymptotiquement préservant
 - Le schéma implicite
 - Le schéma asymptotiquement préservant découplé
- 4 Résultats numériques
 - Données bien préparées
 - Couche limite en espace
 - Couche limite initiale
 - Résultats bidimensionnels
- 5 Travaux en cours et perspectives

- ▶ Convergence uniforme en λ du schéma implicite en espace et en temps.
- ▶ Convergence uniforme en λ du schéma AP découplé.
- ▶ Etude des couches limites initiale et en espace.
- ▶ Comportement en temps long du schéma AP découplé
Schéma semi-implicite (C. Chainais-Hillairet, F. Filbet, 2010).
- ▶ Problème de corrosion d'acier (C. Chainais-Hillairet, C. Bataillon)

$$\begin{cases} \varepsilon \partial_t N - \nabla \cdot (\nabla N - N \nabla \psi) = 0, \\ \partial_t P - \nabla \cdot (\nabla P + P \nabla \psi) = 0, \\ -\lambda^2 \Delta \psi = P - N + C. \end{cases}$$

Deux petits paramètres ε et λ , construire un schéma AP dans la double limite.